

ХАРАКТЕРИСТИКИ ЦИЛИНДРИЧЕСКИХ ПРУЖИН РАСТЯЖЕНИЯ ИЗГОТОВЛЕННЫХ ИЗ МАТЕРИАЛА ОБЛАДАЮЩЕГО ПАМЯТЬЮ ФОРМЫ

АБДРАХМАНОВ С.А., КОЖОШОВ Т.Т.

КГТУ им. И.Раззакова

В данной работе произведён расчет цилиндрических пружин растяжения, изготовленных из материала обладающего эффектом памяти формы при её упругой работе в линейной и нелинейной постановке, приводится анализ напряженно-деформированного состояния и определяется, та предельная нагрузка после которой появляются неупругие деформации.

Как правило, пружины изготовленные из традиционных материалов работают в упругой области деформирования. С появлением материалов обладающих эффектом памяти формы пружины изготовленные на их основе могут работать и за пределом упругих деформаций [1,2]. Причем, если при работе пружин используется эффекты обратимой памяти, генерации реактивных усилий, и т.п., то наличие неупругих деформаций является обязательным условием. Обзор технических решений применения материалов с памятью формы приведен в работе [3]. В данной работе теоретически исследуются рабочие характеристики цилиндрических пружин растяжения, изготовленных из материала обладающего эффектом памяти формы при её упругой работе в линейной и нелинейной постановке, приводится анализ напряженно-деформированного состояния и определяется, та предельная нагрузка после которой появляются неупругие деформации. Определение рабочих характеристик включает установление соотношений между изменениями диаметра, угла подъема, количества витков, а также перемещением определённой точки пружины (углового и линейного) в зависимости от нагрузки P . Рассмотрим цилиндрическую винтовую, пружину, изготовленную из проволоки диаметром d , обладающего эффектом памяти формы. Пусть она воспринимает продольно-растягивающую нагрузку P . Известно, что цилиндрическая винтовая пружина определяется тремя основными независимыми параметрами: D -диаметр пружины, α – угол подъема оси винтового бруса, l – длина оси рабочей части винтового бруса. В дальнейшем учитывая

малость абсолютного удлинения оси винтового бруса будем считать, что она нерастяжима, т. е. принимать его постоянной ($l = \text{const}$).

Рассмотрим геометрическую сторону данной задачи. Выразим необходимые геометрические характеристики пружины через основные независимые параметры. Известно [4,5], что они определяются следующими формулами:

шаг оси винтового бруса

$$h = \pi D \operatorname{tg} \alpha, \quad (1)$$

число рабочих витков

$$i = \frac{l \cos \alpha}{\pi D}. \quad (2)$$

Длина рабочей части пружины, т.е. её высота

$$H = hi, \text{ или } H = l \sin \alpha. \quad (3)$$

Введем полярный угол φ , отсчитываемый от некоторой оси перпендикулярной оси винтового бруса. Тогда его максимальное значение будет

$$\varphi_i = \psi = 2\pi i.$$

Или с учетом формулы (2)

$$\psi = \frac{2l}{D} \cos \alpha. \quad (4)$$

Кривизна винтовой линии

$$\chi = \frac{2 \cos \alpha}{D}. \quad (5)$$

Кручение винтовой линии

$$\omega = \frac{\sin 2\alpha}{D}. \quad (6)$$

Из этих формул видно что, при растяжении пружины её высота H и угол подъема α увеличивается, при этом кручение винтовой линии возрастает, а торцы пружины получают взаимные и угловые перемещения.

Рассмотрим внутренние усилия в пружине нагруженного растягивающей осевой силой P и крутящим моментом m (рис. 1 а.).

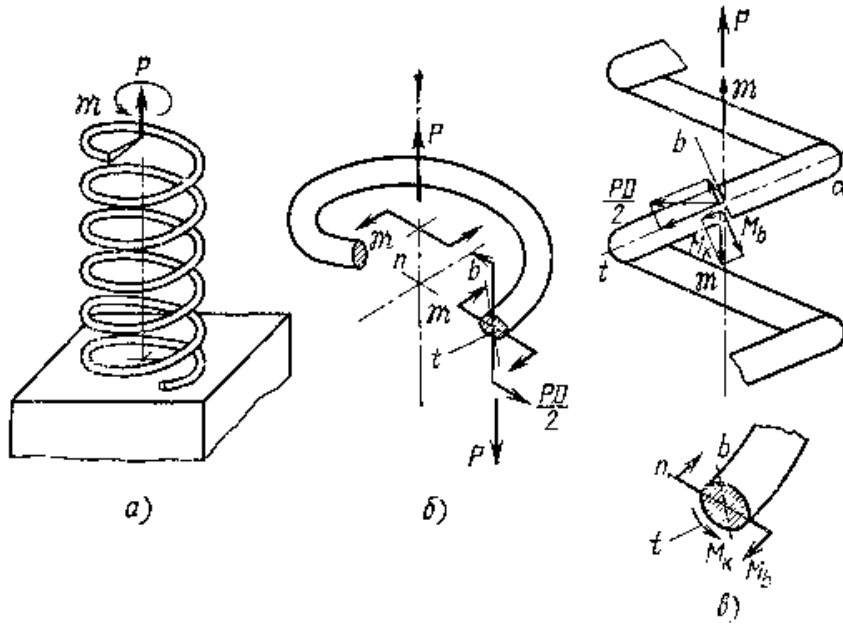


Рис. 1.

Равновесие пружины отсеченной плоскостью нормальной к винтовой линии даёт, что момент внутренних сил в осевой плоскости будет $\frac{PD}{2}$, а момент в плоскости перпендикулярной к оси – равен m . (рис. 1б) Кроме этого в сечении действует сила P направленная вдоль оси пружины. Учитывая, что эта сила мало влияет на деформацию пружины, в дальнейшем её не рассматриваем. Из рисунка (рис. 1в) видно, что крутящий и изгибающий момент в поперечном сечении витка будет:

$$M_{кр} = \frac{PD}{2} \cos \alpha + m \sin \alpha, \quad (7)$$

$$M_{из} = m \cos \alpha - \frac{PD}{2} \sin \alpha. \quad (8)$$

Рассмотрим случай малых перемещений пружин.

При этом изменение высоты пружины ΔH и центрального угла $\Delta \psi$ на основании формул(3) и (4) будет:

$$\Delta H = l \Delta \alpha \cos \alpha, \quad (9)$$

$$\Delta \psi = -\frac{2l}{D} \left(\Delta \alpha \sin \alpha + \frac{\Delta D}{D} \cos \alpha \right). \quad (10)$$

Используя (5) и (6) находим изменение кривизны, в виде:

$$\Delta \chi = -\frac{2 \sin 2\alpha}{D} - \frac{2 \cos^2 \alpha}{D^2} \Delta D, \quad (11)$$

$$\Delta \omega = \frac{2 \cos 2\alpha}{D} \Delta \alpha - \frac{\sin 2\alpha}{D^2} \Delta D. \quad (12)$$

Определив из последних уравнений $\Delta \alpha$, ΔD и подставив их в (9) и(10), получаем:

$$\Delta H = \frac{1}{2} \pi D^2 i (\Delta \omega - \Delta \chi \operatorname{tg} \alpha), \quad (13)$$

$$\Delta \psi = \pi D i (\Delta \chi - \Delta \omega \operatorname{tg} \alpha). \quad (14)$$

Из этих формул видно, что при малых углах подъёма ($\operatorname{tg} \alpha \approx 0$) изменения высоты пружины обусловлено в основном кручением винтовой линии, а изменение центрального угла $\Delta \psi$ - приращением кривизны.

Отметим, что перемещение пружины зависит от способа закрепление концов. Здесь мы рассмотрим два способа крепления.

1. Свободное крепление. В этом случае торцы пружины могут свободно поворачиваться вокруг её оси ($m = 0$). Следовательно, число её витков должно изменяться.

2. Жесткое крепление. В этом случае число витков остается постоянным, но в заделке появляется реактивный момент.

Рассмотрим перемещение пружины. Очевидно, что осадка пружины λ , равна изменению высоты ΔH , а угол поворота одного торца относительно другого θ равна изменению центрального угла $\Delta \psi$, т. е.

$$\lambda = \frac{1}{2} \pi D^2 i (\Delta \omega - \Delta \chi \operatorname{tg} \alpha), \quad (15)$$

$$\theta = \pi D i (\Delta \chi - \Delta \omega \operatorname{tg} \alpha). \quad (16)$$

В этих формулах изменение кручения и кривизны витка пружины в упругой стадии её работы определяются законом Гука, т. е.

$$\Delta\omega = \frac{M_{кр}}{C}, \quad \Delta\chi = \frac{M_{из}}{B}, \quad (17)$$

где $C = GJ_{кр}$, $B = EJ_{из}$ - жесткость проволоки на кручение и изгиб, $J_{кр} = J_{\rho}$ - полярный момент инерции, $J_{из} = J_b$ - осевой момент инерции сечения относительно бинормали \bar{b} .

В случае малых перемещений в процессе деформирования пружины α и

$$\lambda = \frac{\pi D_0^2 i_0}{4B \cos \alpha_0} \left[PD_0 \left(\frac{B}{C} \cos^2 \alpha_0 + \sin^2 \alpha_0 \right) + m \left(\frac{B}{C} - 1 \right) \sin 2\alpha_0 \right], \quad (18)$$

$$\theta = \frac{\pi D i_0}{B \cos \alpha_0} \left[\frac{PD_0}{4} \left(\frac{B}{C} - 1 \right) \sin 2\alpha_0 + m \left(\frac{B}{C} \sin^2 \alpha_0 + \cos^2 \alpha_0 \right) \right]. \quad (19)$$

Здесь i_0 - начальное количество витков.

Рассмотрим разные случаи закрепления концов.

1. Свободное крепление концов ($m = 0$). Тогда перемещения будут равны

$$\lambda = \frac{\pi D_0^3 i_0 P}{4C \cos \alpha_0} \left[\left(\cos^2 \alpha_0 + \frac{C}{B} \sin^2 \alpha_0 \right) \right], \quad (20)$$

$$\theta = \frac{\pi D_0^2 i_0 P}{B \cos \alpha_0} \left[\left(\frac{B}{C} - 1 \right) \sin 2\alpha_0 \right]. \quad (21)$$

2. Защемление. В этом случае $\theta = 0$, и из (19) получаем

$$m = - \frac{PD}{4} \frac{\left(\frac{B}{C} - 1 \right) \sin 2\alpha_0}{\frac{B}{C} \sin^2 \alpha_0 + \cos^2 \alpha_0}. \quad (22)$$

Подставляя это значение m в формулу (18) для осевого перемещения λ получаем следующее выражение

$$\lambda = \frac{\pi D_0^3 i_0 P}{4C \cos \alpha_0} \frac{1}{\frac{B}{C} \sin^2 \alpha_0 + \cos^2 \alpha_0}. \quad (23)$$

$$\left. \begin{aligned} 2B \left(\frac{\cos^2 \alpha}{D} - \frac{\cos^2 \alpha_0}{D_0} \right) &= - \frac{PD}{2} \sin \alpha + m \cos \alpha \\ C \left(\frac{\sin 2\alpha}{D} - \frac{\sin 2\alpha_0}{D_0} \right) &= \frac{PD}{2} \cos \alpha + m \sin \alpha \end{aligned} \right\}. \quad (29)$$

Решая последнее уравнение относительно α и D и подставляя их значения в формулы (25) и (26) можно найти, как угловые, так и линейные перемещения пружины [4,5,6].

D меняются незначительно. Пренебрегая изменениями этих величин получаем линейную теорию расчета пружин. Рассмотрим этот случай. Пусть $\alpha = \alpha_0$ и, $D = D_0$, где α_0 и D_0 начальные значения этих величин. Тогда подставляя (17) в равенства (15) и (16), с учетом (7) и (8) имеем:

Рассмотрим частный случай, когда $\alpha_0 = 0$, тогда формулы (20) и (23) дают одинаковый "сопроматовский" результат, т. е.

$$\lambda = \frac{\pi D_0^3 i_0 P}{4C}. \quad (24)$$

Теперь рассмотрим нелинейный случай. В этом случае уравнение равновесия составляются для деформированного состояния пружины.

Перемещения определяются на основании формул (3) и (4) следующими формулами:

$$\lambda = H - H_0 = l(\sin \alpha - \sin \alpha_0), \quad (25)$$

$$\theta = \psi - \psi_0 = 2l \left(\frac{\cos \alpha}{D} - \frac{\cos \alpha_0}{D_0} \right). \quad (26)$$

На основании формул (5) и (6) изменения кривизны и кручения равны

$$\Delta\chi = \chi - \chi_0 = \frac{2 \cos^2 \alpha}{D} - \frac{2 \cos^2 \alpha_0}{D_0}, \quad (27)$$

$$\Delta\omega = \omega - \omega_0 = \frac{\sin 2\alpha}{D} - \frac{\sin 2\alpha_0}{D_0}. \quad (28)$$

Учитывая формулу (17) и подставляя значения $M_{из}$ и $M_{кр}$ по формулам (7) и (8) имеем:

Рассмотрим два частных случая закрепления концов.

1. Свободное крепление ($m=0$). В этом случае разрешая уравнения (29) относительно величин P и D получаем

характеристики пружины в следующей параметрической форме:

$$P = \frac{4B}{D_0^2} \sin(\alpha - \alpha_0) \frac{\cos^2 \alpha_0}{\cos \alpha} \frac{\frac{B}{C} \cos \alpha \cos \alpha_0 + \sin \alpha \sin \alpha_0}{\left(\frac{B}{C} \cos^2 \alpha + \sin^2 \alpha\right)^2}, \quad (30)$$

$$D = D_0 \frac{\frac{2B}{C} \cos^3 \alpha + \sin \alpha \sin 2\alpha}{\frac{2B}{C} \cos \alpha \cos^2 \alpha_0 + \sin \alpha \sin 2\alpha_0}, \quad (31)$$

$$\theta = \frac{\pi D_0 i_0}{\cos \alpha_0} \left(\frac{\cos \alpha}{D} - \frac{\cos \alpha_0}{D_0} \right). \quad (32)$$

2. Защемление относительно поворота торцов пружины ($\theta = 0$). В данном случае характеристики пружины в

параметрической форме, с учетом формул(26) и (29) даются следующими выражениями

$$P = \frac{4C \cos^2 \alpha_0}{D_0^2} \left[(\sin \alpha - \sin \alpha_0) - \frac{B}{C} \sin \alpha \left(1 - \frac{\cos \alpha_0}{\cos \alpha} \right) \right], \quad (33)$$

$$D = D_0 \frac{\cos \alpha_0}{\cos \alpha}, \quad (34)$$

$$m = \frac{2}{D_0} [B \cos \alpha \cos \alpha_0 (\cos \alpha - \cos \alpha_0) + C \cos \alpha_0 \sin \alpha (\sin \alpha - \sin \alpha_0)]. \quad (35)$$

В обоих рассмотренных выше случаях осадка пружины определяется по формуле

$$\lambda = \frac{\pi D_0 i_0}{\cos \alpha_0} (\sin \alpha - \sin \alpha_0). \quad (36)$$

В формулах (30-36) параметром характеризующим систему выступает угол подъема пружины α . Таким образом, задавшись углом $\alpha > \alpha_0$, можно определить все необходимые параметры пружины и действующие на него нагрузки.

О напряжениях. Если учитывать только два основных силовых фактора действующих в поперечном сечении прутка: изгибающий и крутящий момент, то максимальные нормальные и касательные напряжения определяются по следующим формулам:

$$\sigma_{max} = \frac{M_{из}}{W_{из}},$$

$$\tau_{max} = \frac{M_{кр}}{W_{кр}}, \quad (37)$$

где $W_{из}$, $W_{кр} = W_{\rho}$ - моменты сопротивления изгибу и кручению. Для прутка диаметром d ,

$$W_{из} = \frac{\pi d^3}{32},$$

$$W_{кр} = 2W_{из}. \quad (38)$$

Крутящий и изгибающий момент действующий в сечении прутка определяется по формулам (7) и (8). Рассмотрим случай, когда $m=0$ (свободное растяжение пружины). Тогда

$$M_{кр} = \frac{PD}{2} \cos \alpha,$$

$$M_{из} = -\frac{PD}{2} \sin \alpha. \quad (39)$$

С учетом формулы (38) и (39) получаем следующие значения для напряжений*

$$\sigma_{из}^{max} = \frac{16PD}{\pi d^3} \sin \alpha,$$

$$\tau_{кр}^{max} = \frac{8PD}{\pi d^3} \cos \alpha. \quad (40)$$

Из последних формул получаем

$$\frac{\tau_{кр}^{max}}{\sigma_{из}^{max}} = \frac{ctg \alpha}{2} \quad (41)$$

Последняя формула дает возможность сравнения и оценки максимальных нормальных и касательных напряжений при работе цилиндрических пружин растяжения. Отметим, что напряжения в формуле (40) определяются через параметр α , после задания которого нагрузка и диаметр пружины вычисляются по формулам (30) и (31).

Для получения графических характеристик пружины нами произведен расчет цилиндрической пружины изготовленной из материала обладающего эффектом памяти формы и имеющего следующие параметры. Модуль продольной упругости $E=8,5 \cdot 10^3$ МПа, коэффициент Пуассона $\mu=0,35$, диаметр пружины $D_0=9 \cdot 10^{-3}$ м. Для рассматриваемой пружины количество витков $i_0=10$, угол подъема $\alpha_0=1,54; 3; 7$ и 10° .

- В формуле для нормальных напряжений опущен знак “минус”, т.к. она влияет только на определение местоположения опасной точки в сечении прутка.

На рис. 2, 3 и 4 даны величины осадки (λ), изменения диаметра (ΔD) и угла подъема α пружины в зависимости от растягивающей силы P , посчитанные по формулам (30), (31) и (36), т.е. для случая свободного крепления. На всех графиках кривым 1, 2, 3 и 4 соответствуют начальные углы подъема $1,51; 3; 7$ и 10° .

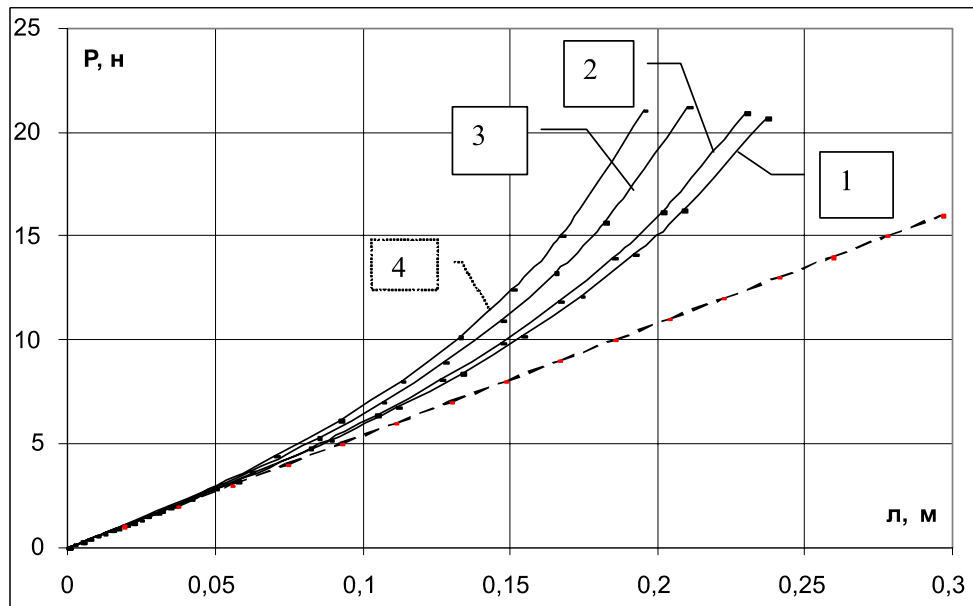


Рис. 2. Зависимость P от λ . Пунктирная линия соответствует расчету по линейной теории для $\alpha_0=1,54^\circ$.

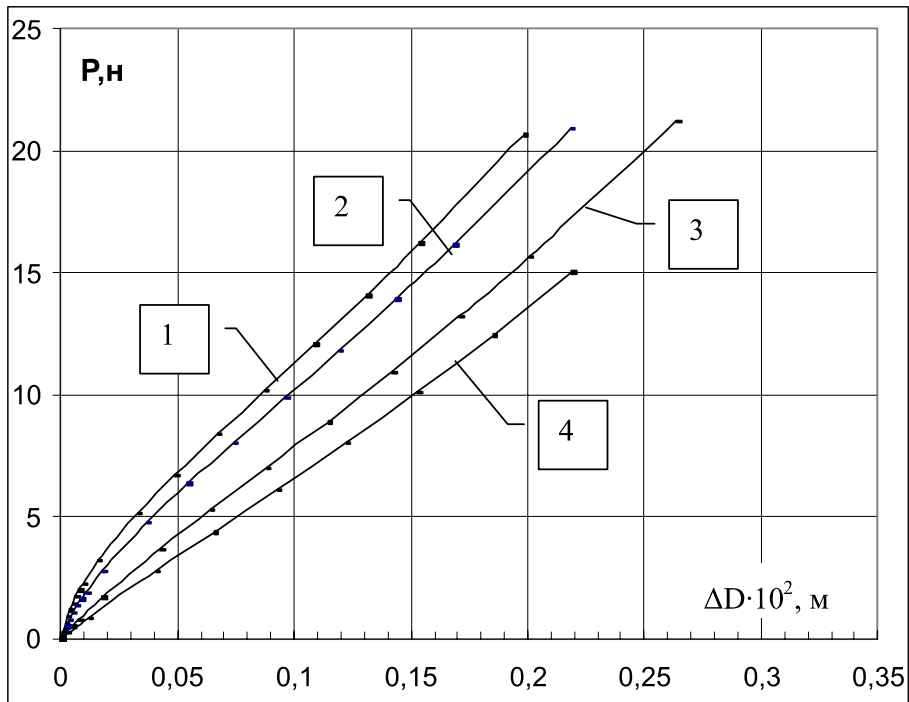


Рис. 3. Зависимость P от ΔD .

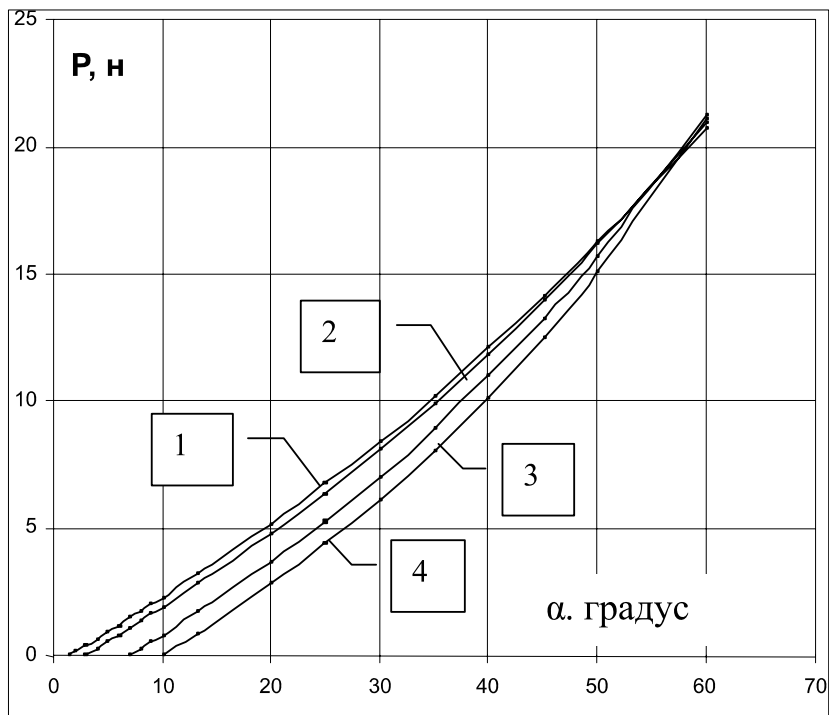


Рис. 4. Зависимость P от угла α .

Как видно из этих графиков при больших перемещениях пружин эти зависимости имеют нелинейный характер.

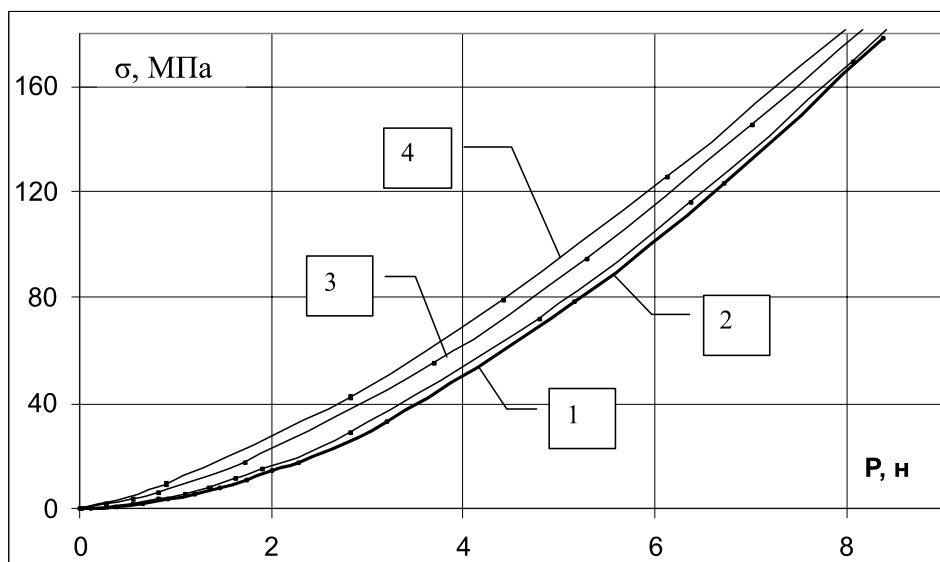


Рис. 5. Зависимость σ от P .

Графики зависимостей максимальных напряжений от растягивающей нагрузки даны на рис. 5, 6 для различных углов подъема пружин.

Как видно, эти зависимости имеют нелинейный характер.

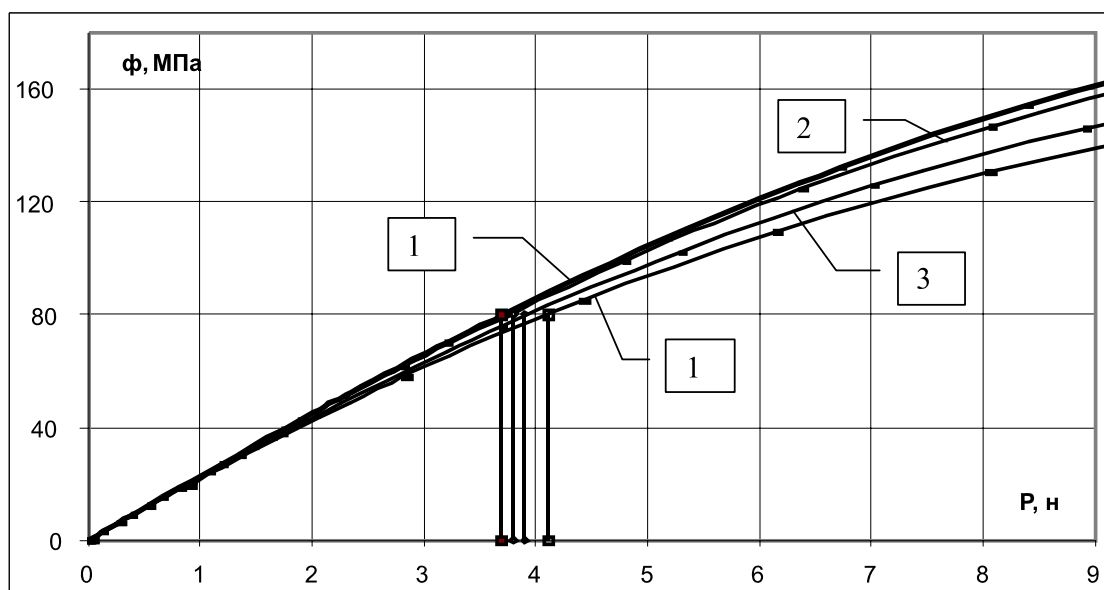


Рис. 6.

Зависимость τ от P .

Причем в начале нагружения максимальные касательные напряжения намного больше максимальных нормальных напряжений. Их величины можно оценить с помощью формул (41). Используя рис. 6, можно из графика определить предельную нагрузку, после которой появляются неупругие деформации. Условием её определения является равенство

$$\tau^{\max} = \tau_{\phi_T},$$

где τ_{ϕ_T} - предел фазовой текучести материала на сдвиг. Как указано в экспериментальных исследованиях [2,7,8], для рассматриваемого нами материала можно принять $\tau_{\phi_T} = 80 \text{ МПа}$.

Проведя на рис. 6 горизонтальную линию на этом уровне получаем значения предельных нагрузок P_{ϕ_T} для пружин с различным углом подъема. Для пружин с углом подъема $1.54, 3, 7$ и 10° они соответственно равны: $3.69, 3.8, 3.9$ и 4.11 Н .

Литература

1. Абдрахманов С.А. Деформация материалов с памятью формы при термосиловом воздействии. – Бишкек: Илим, 1991. – 116 с.
2. Лихачев В.А. и др. Эффект памяти формы. –Л.: Из-во ЛГУ, 1987. - 216 с.
3. Материалы с эффектом памяти формы. Т.4 Справочное издание под общей ред. В.А. Лихачева. - Санкт-Петербург, 1998. - 268с. 4.1.
4. Понамрев С.Д. и др. Расчет на прочность в машиностроении, Т-1. - М.: Машгиз, 1956. - 881 с.
5. Понамрев С.Д., Андреева Л.Е. Расчет упругих элементов машин и приборов. - М.: Машиностроение, 1980. - 323 с.
6. Чернышев Н.А. Напряженное состояние и деформация цилиндрических пружин, свитых из круглого прутка. – в кн. Динамика и прочность машин. - М.: АН СССР, 1950. - С. 7-78.
7. Мартенситная деформация никелида титана. /Паскаль Ю.И., Ерофеев В.Я., Монасевич Л.А. и др.// Изв. Вузов, Физика, 1982, №6. - С. 103-117.
8. Ооцука К., Симудзу К., Судзуки Ю. Сплавы с эффектом памяти формы Под ред. Фунакуба Х. Пер. с японск. – М.: Металлургия, 1990. -224 с.